

1/11

Fig. 1
PRIOR ART

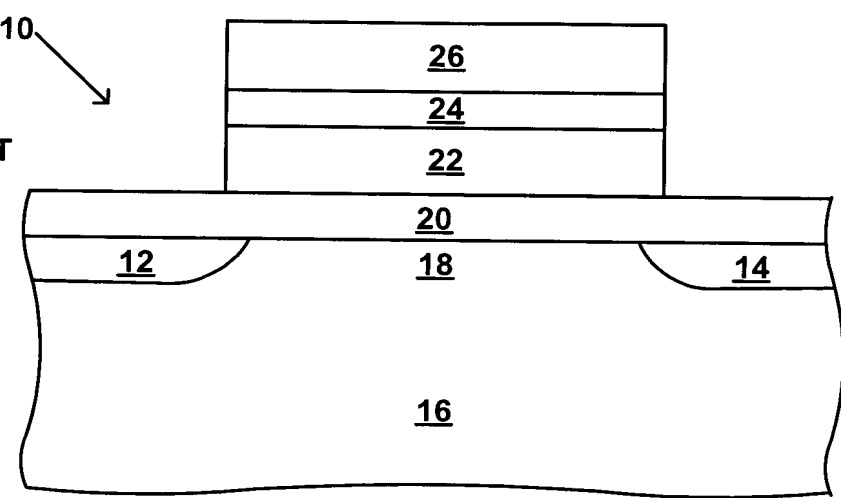


Fig. 2

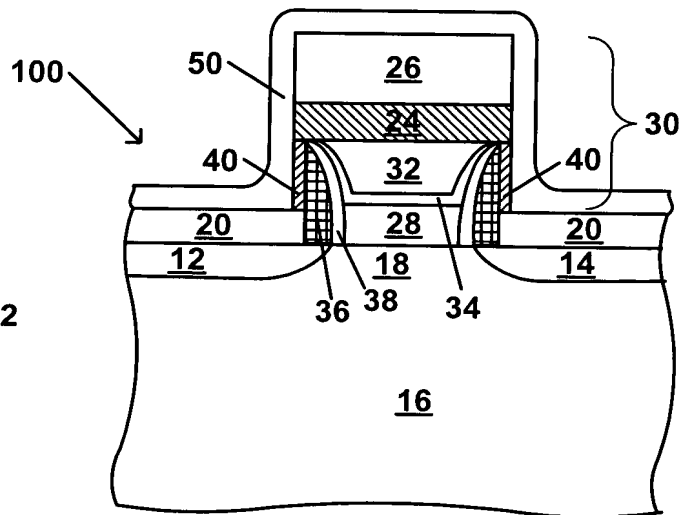


Fig. 3

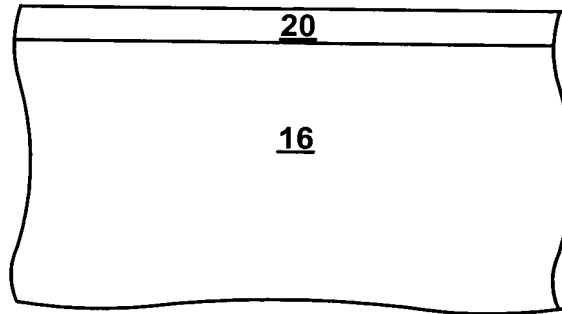
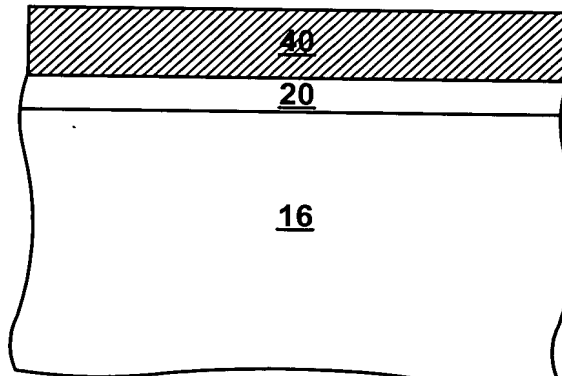
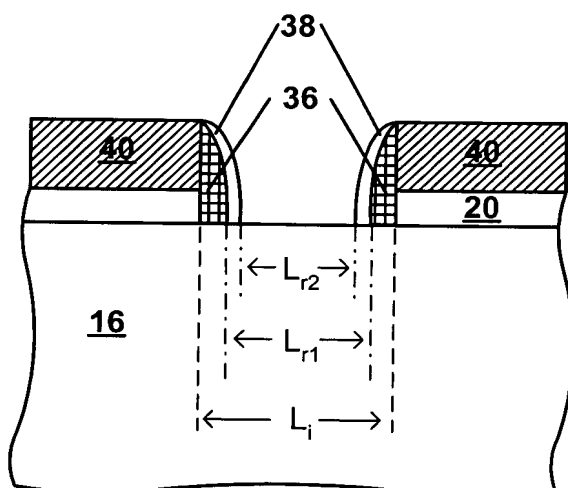
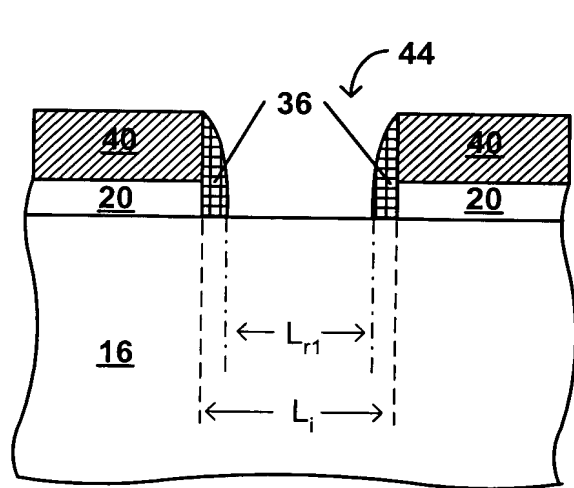
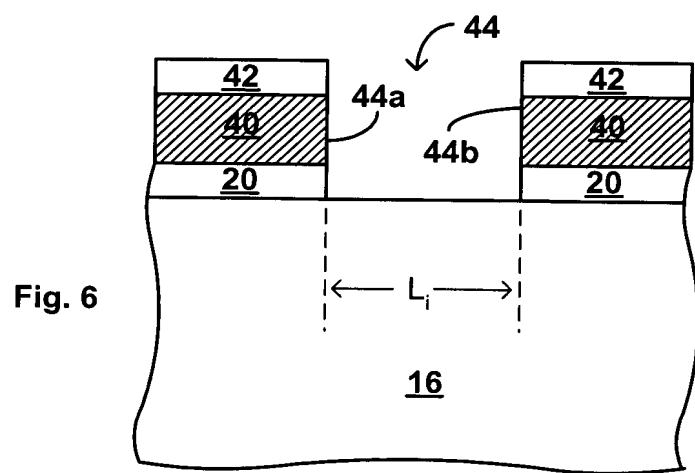
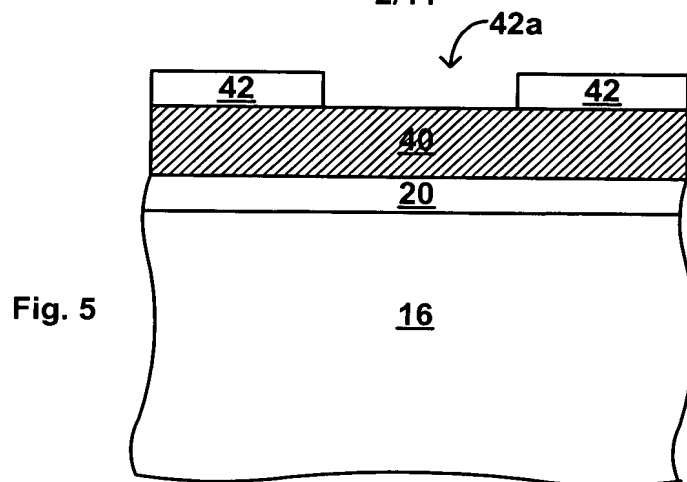


Fig. 4



2/11



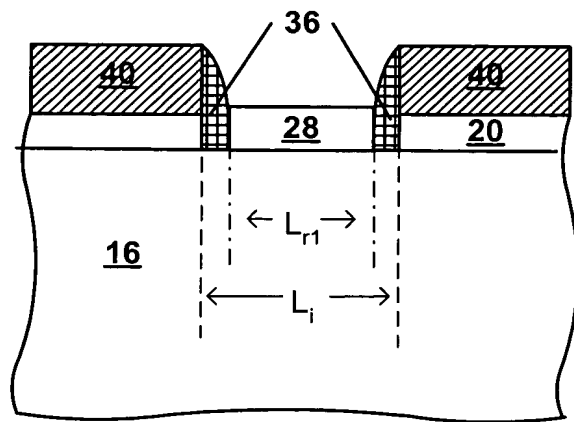


Fig. 8A

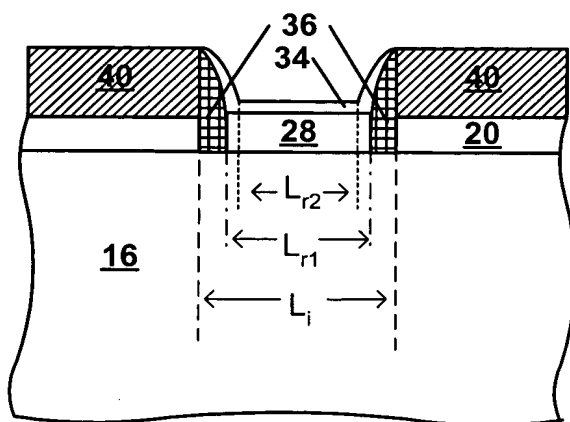


Fig. 8B

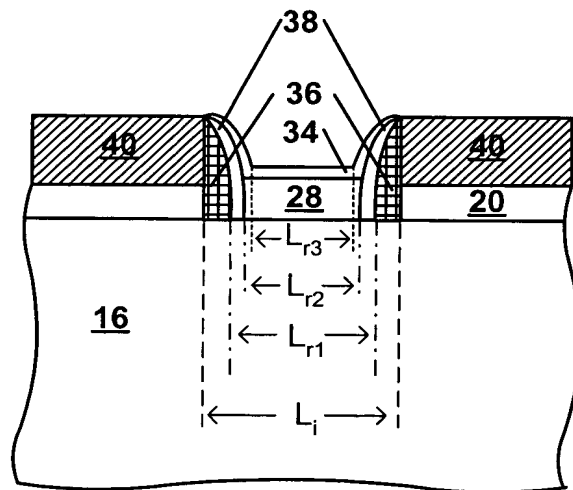


Fig. 8C

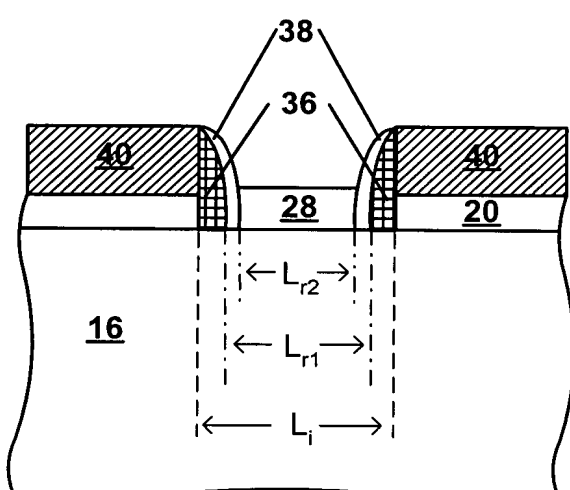


Fig. 8D

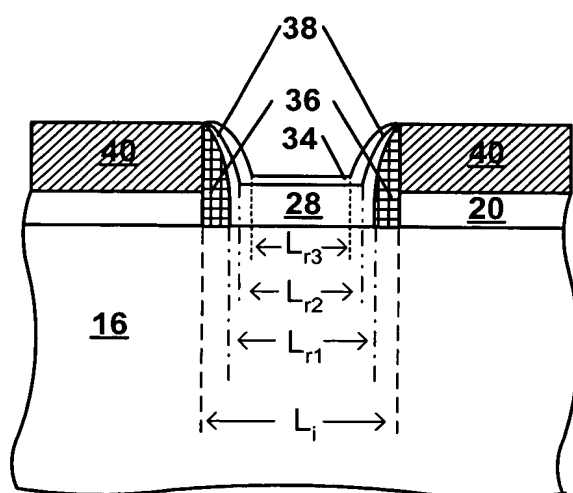


Fig. 8E

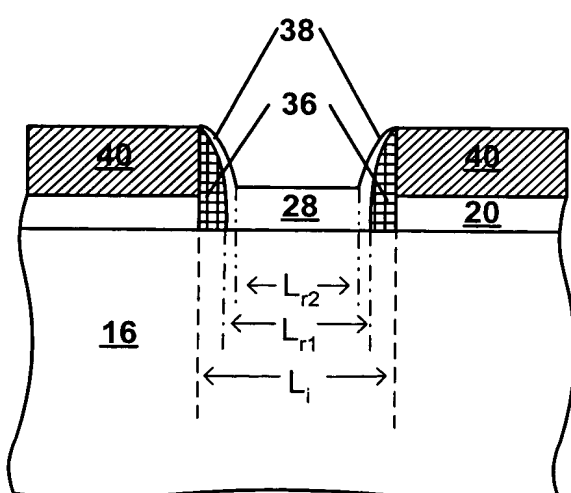


Fig. 8F

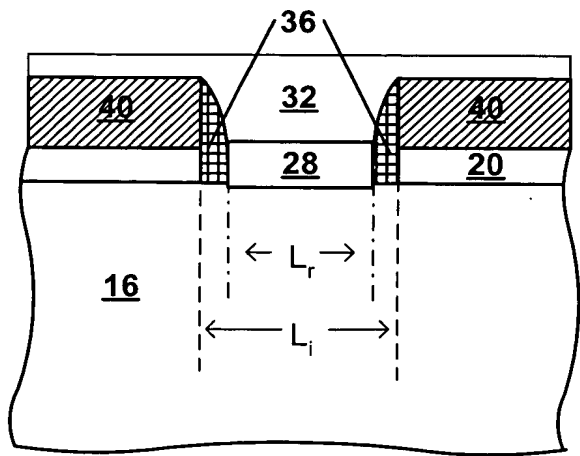


Fig. 9A

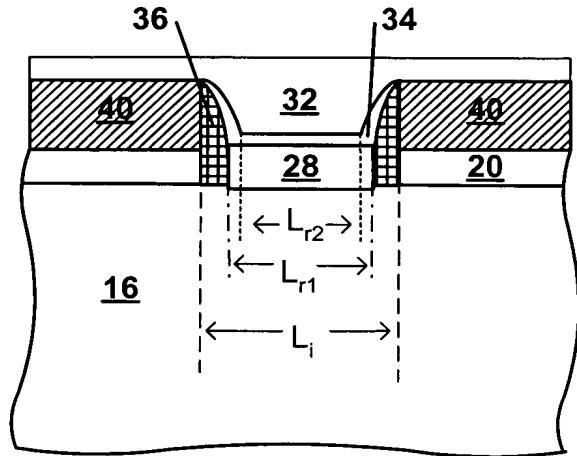


Fig. 9B

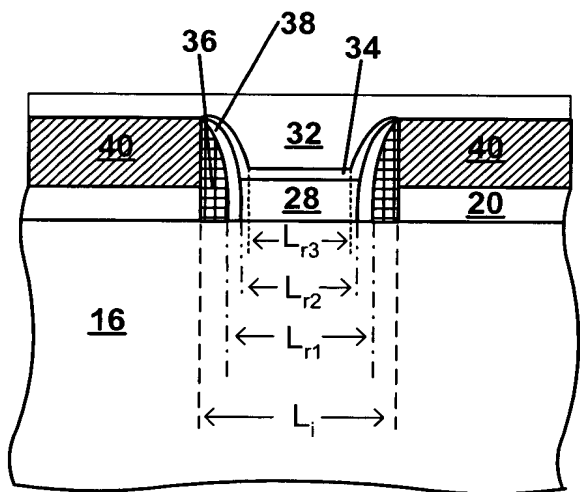


Fig. 9C

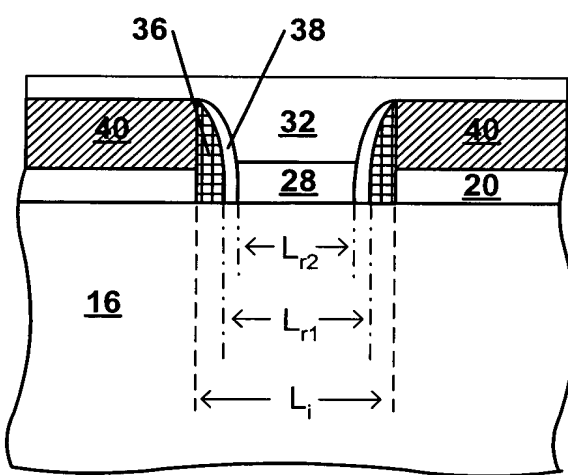


Fig. 9D

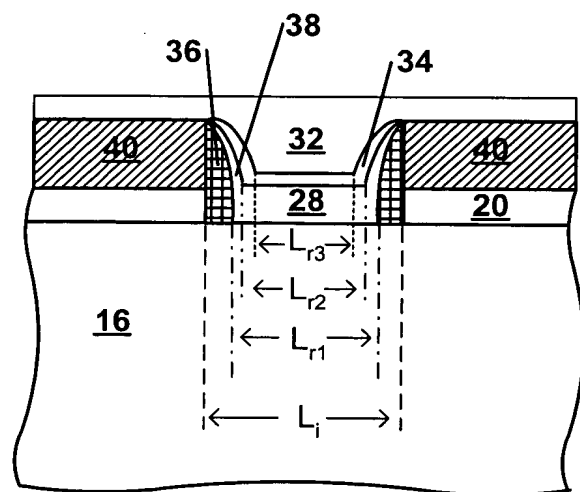


Fig. 9E

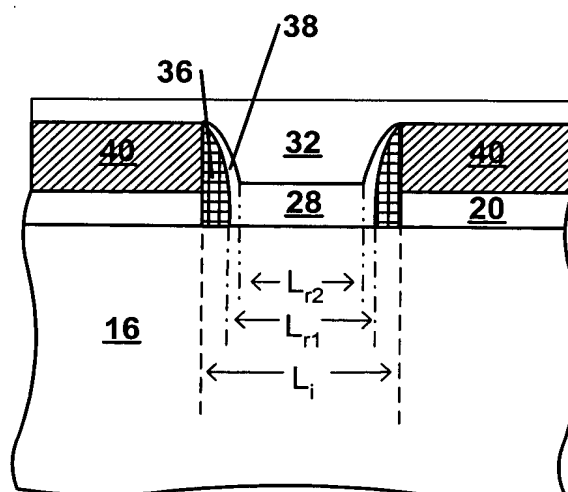


Fig. 9F

Fig. 10

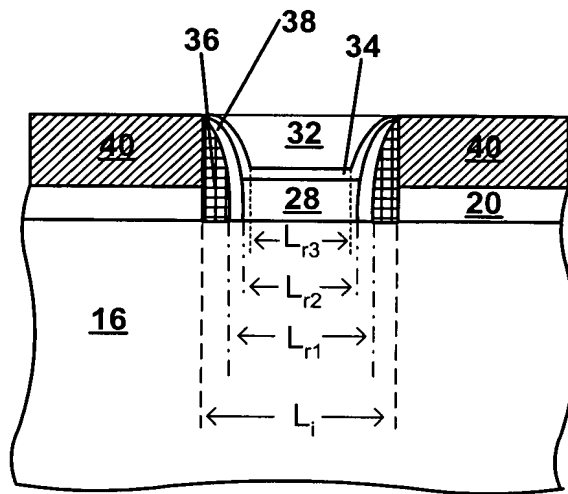


Fig. 11

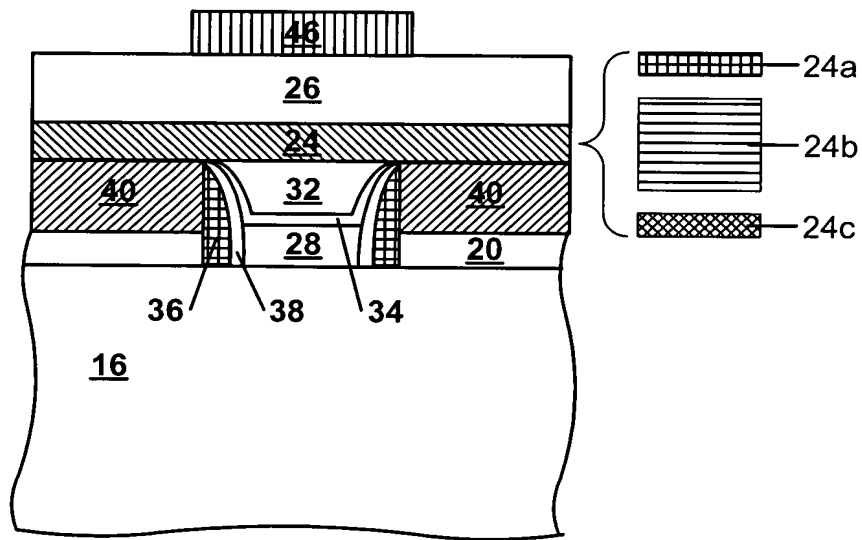
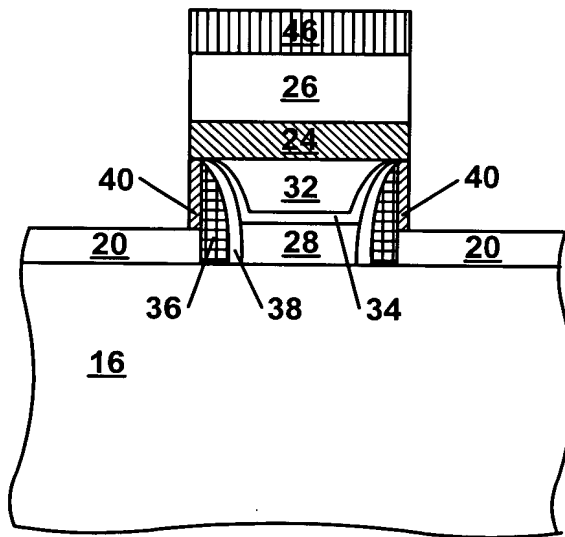


Fig. 12



6/11

Fig. 13

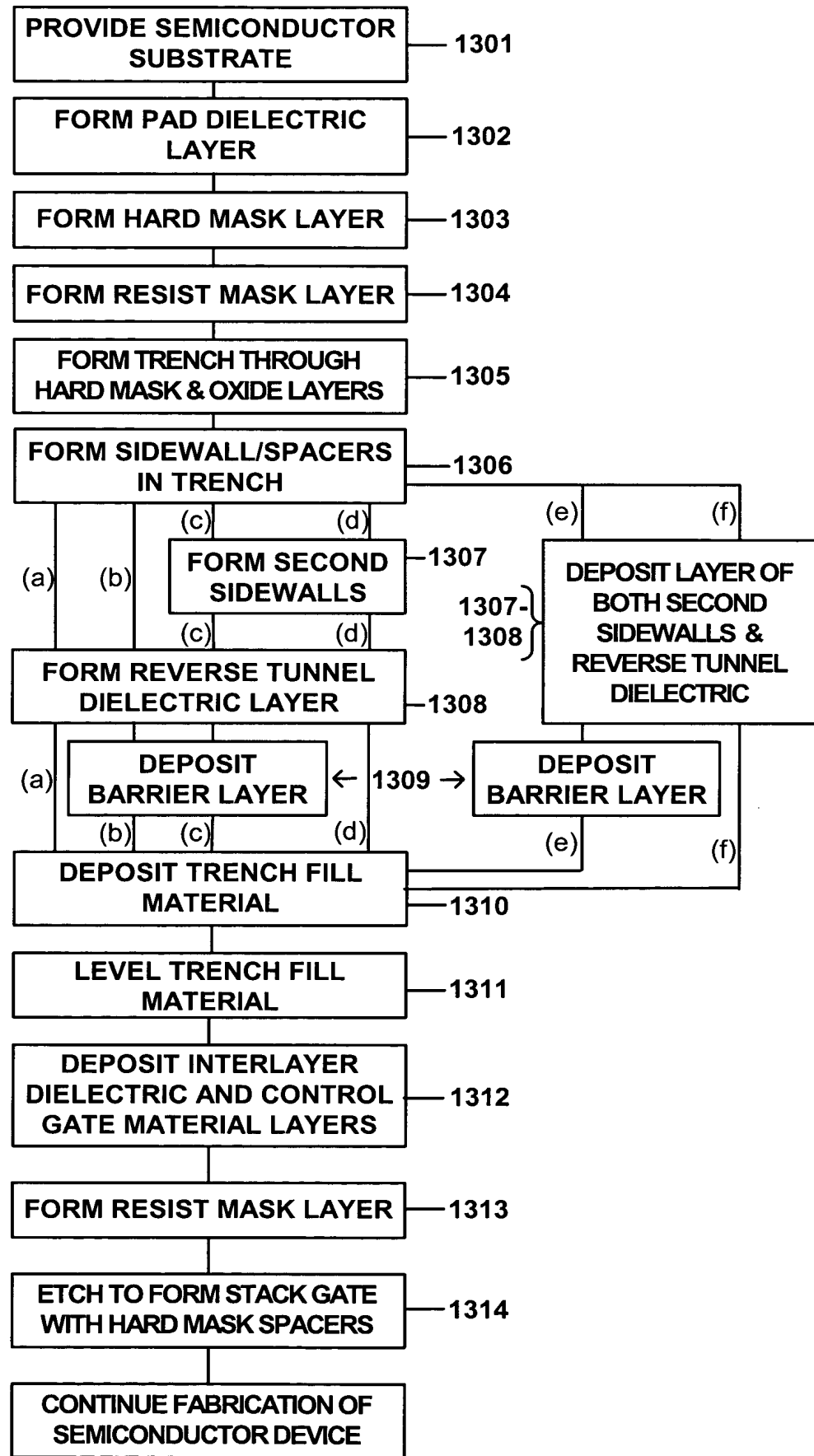


Fig. 14

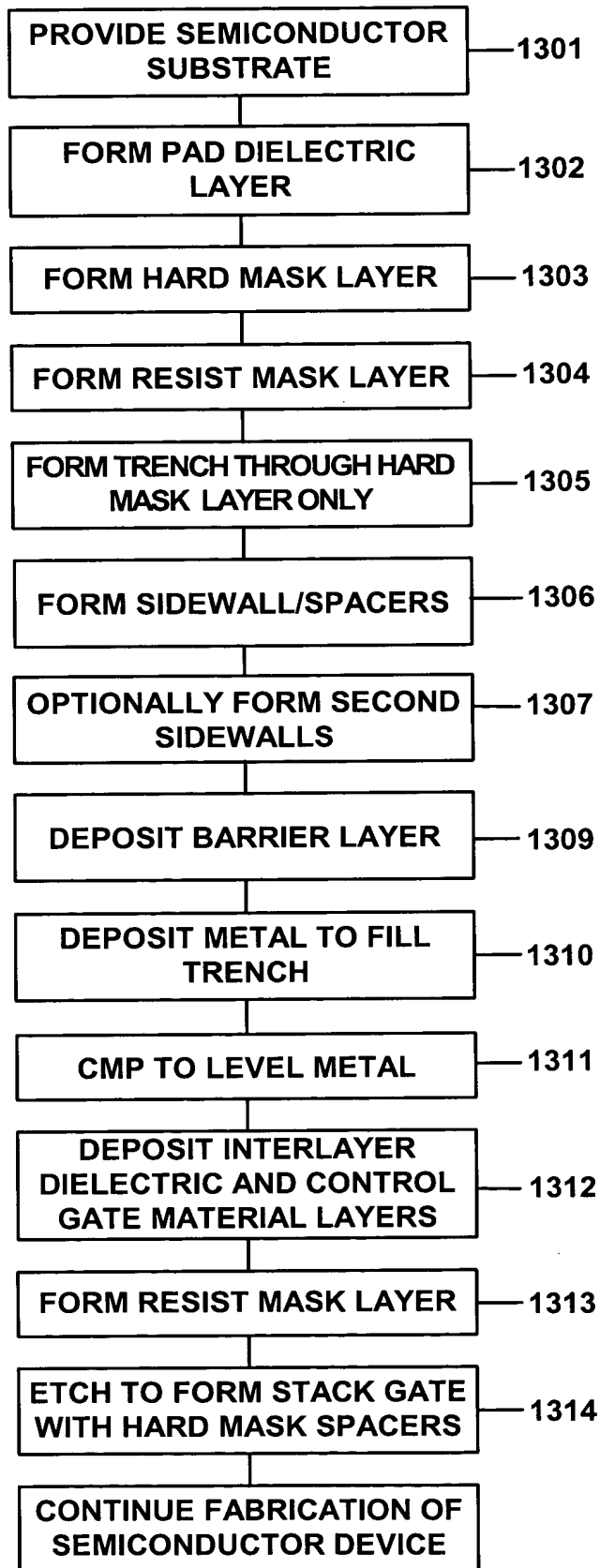


Fig. 15

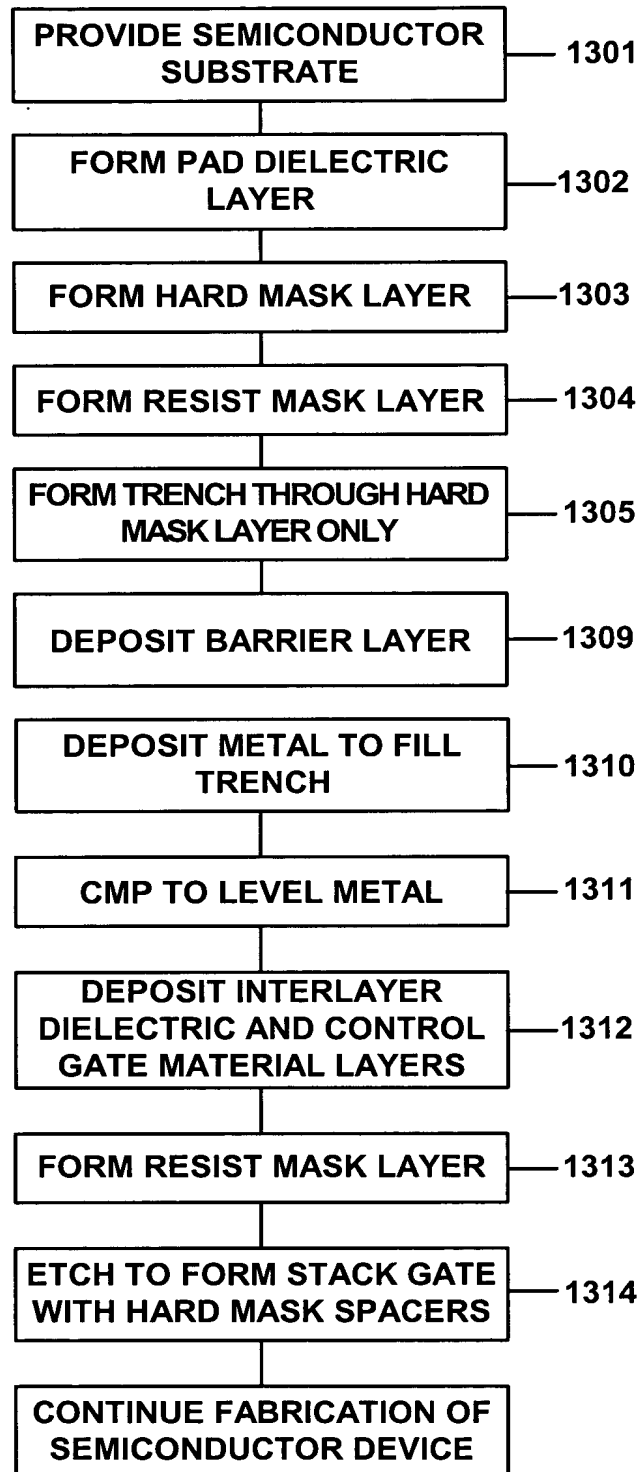
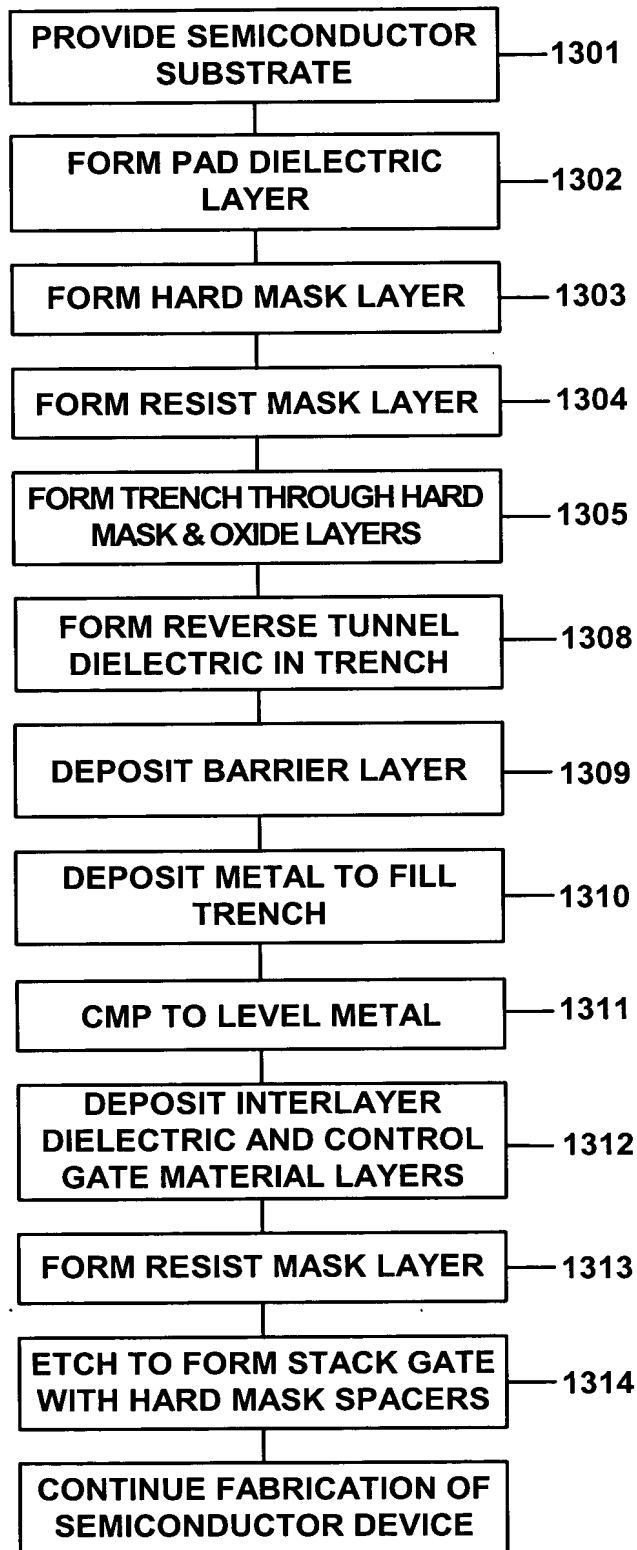


Fig. 16



10/11

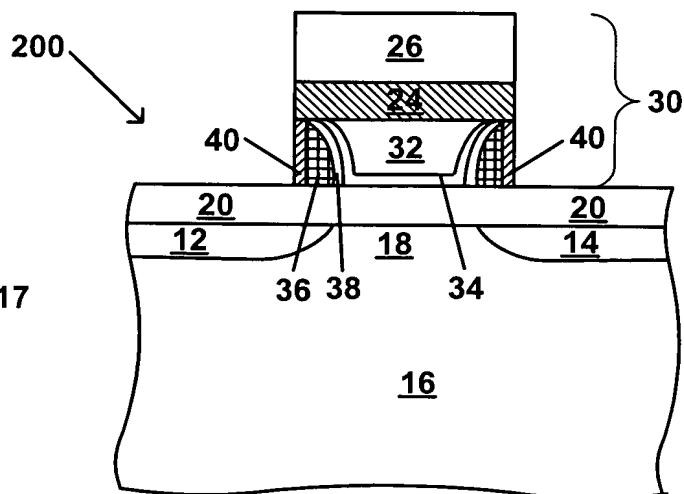


Fig. 17

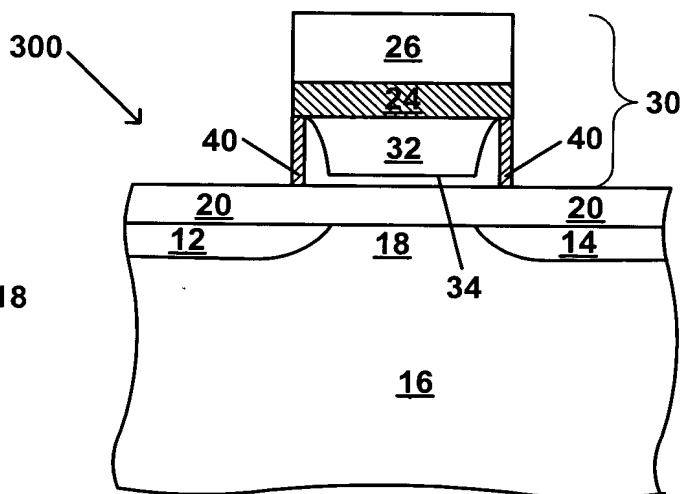


Fig. 18

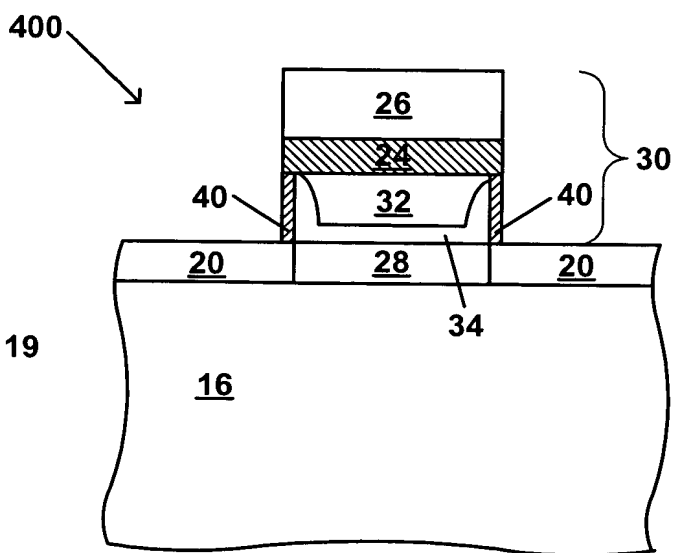


Fig. 19

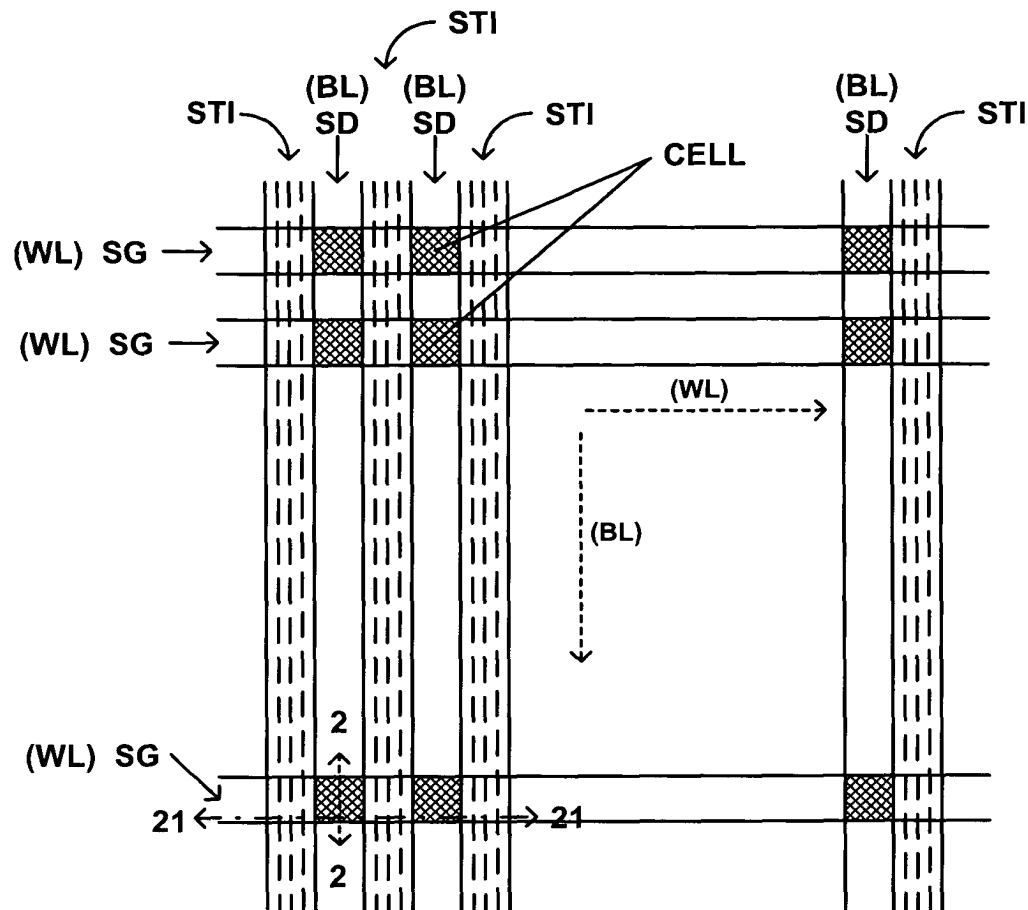


Fig. 20

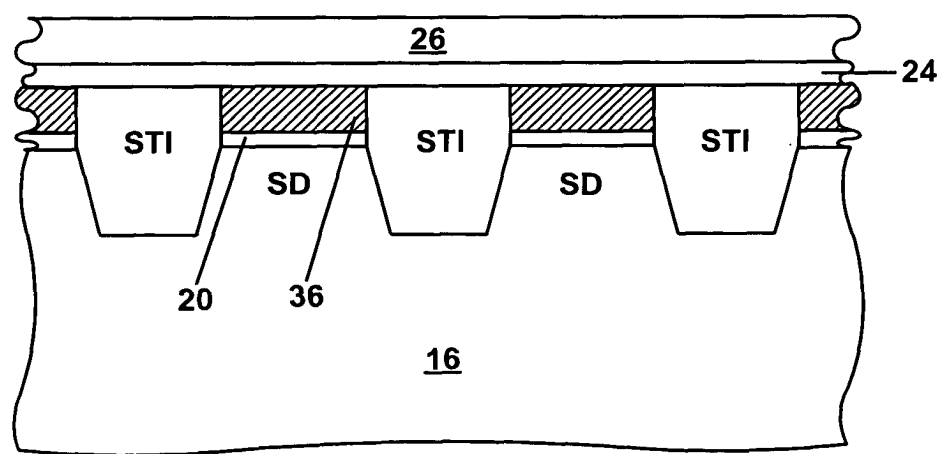


Fig. 21